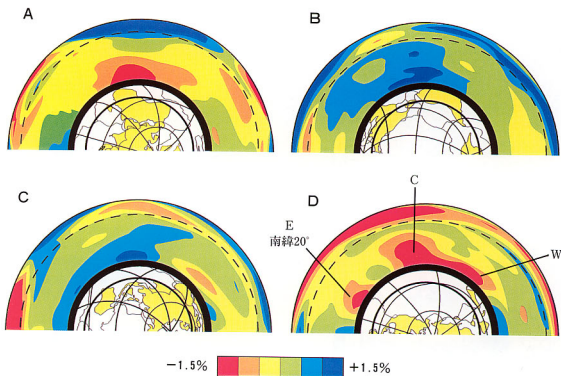
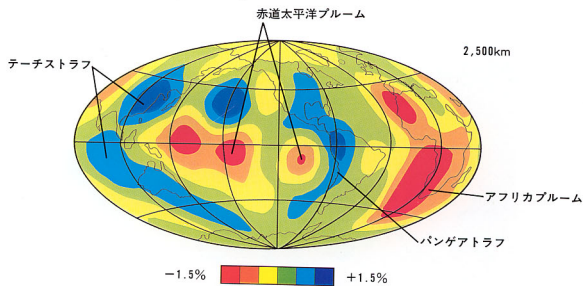


地球深部の運動像をめぐる研究動向（その1）

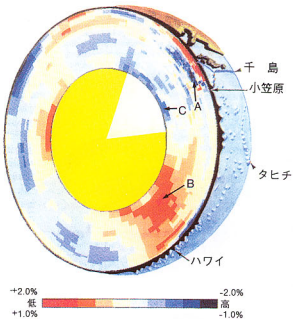
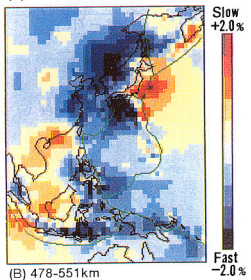
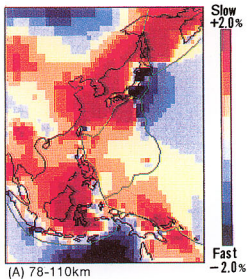
（詳しくは本文 7-17 頁参照）〈応用地質学 南雲昭三郎〉



1. Dziewonski らのサイスミック S 波トモグラフィ画像改訂版の一例。A) 大アフリカブルーム断面, B) パンゲアトラフ, C) テチストラフ, D) 赤道太平洋ブルーム断面。モデルは SH8 / WM13 (Dziewonski et al., 1993, Figure 13 より)。



2. 深度 2500 km の球面上の S 波速度異常分布のテクトニクス的名称 (Dziewonski et al., 1993, Figure 11 の(g)より)



3. (上) Fukao (1992) による全マントル P 波トモグラフィ画像の一例。太平洋を北西—南東方向に切る(小笠原からタヒチを通る)大円断面。A) 沈み込みスラブに対する高速度領域。B) コアマントル境界から立ち上がる熱ブルームに対応する低速度異常領域。C) 下部マントルの下降流に対応する高速度領域。

4. (左) Fukao and Obayashi (1992) による西太平洋西縁・東アジア東縁の上部マントルの P 波速度異常分布の一例。A) 深度 78-110 km, B) 深度 478-551 km。

5. (下) Anderson et al. (1992) による上部マントルの S 波速度異常分布の一例。深度 110 km におけるグローバルな水平断面。青: 高速度、赤: 低速度。異常の範囲: $\pm 4.5\%$ 。

